

# 四个探针产生的家禽 DNA 指纹图谱

孟安明 齐顺章

宫桂芬

(北京农业大学生物学院, 北京 100094) (北京市种禽公司, 北京 102209)

## 提 要

对四个多位点小卫星探针 33.6, 33.15,  $\alpha$  珠蛋白-3'HVR 和 M13 用于家禽的 DNA 指纹分析的可行性进行了探讨, 较详细地报导了用不同探针在鸡、鸭、鹌鹑上产生 DNA 指纹图的方法。结果表明, 用我们所采用的方法, 四个探针都能在鸡、鸭、鹌鹑上产生信息量大、分辨率较高的 DNA 指纹图。

**关键词** 多位点小卫星探针, DNA 指纹图, 家禽

多位点小卫星探针 (multilocus minisatellite probe) 即多核探针 (polycore probe), 都是由某一寡核苷酸 (即核心序列) 多次重复而成。这些探针能与多种生物的染色体组 DNA 酶切片段杂交, 产生具有个体特异性的 DNA 指纹图谱 (DNA fingerprint)<sup>[1,2]</sup>。DNA 指纹技术已广泛地用于人类医学、法医学、群体遗传学和分类学等领域的有关研究上<sup>[3-8]</sup>, 越来越受到重视。虽然目前多位点小卫星探针已有数十个之多, 但用得最多的是人源小卫星探针 33.6 和 33.15<sup>[1]</sup>, 以及噬菌体 M13 (其有效序列为蛋白质 III 的编码区)<sup>[9]</sup>。要获得信息量大、分辨力高的 DNA 指纹图, 需根据所研究的物种和采用的探针, 摸索一套合适的实验技术和方法。我们就四个探针——33.6, 33.15,  $\alpha$  珠蛋白-3'HVR (3HVR)<sup>[10,11]</sup> 和 M13 产生鸡、鸭和鹌鹑的 DNA 指纹图的技术和方法进行了探讨, 获得了重复性好、清晰的 DNA 指纹图。

## 1 材料和方法

### 1.1 材料和试剂

鸡、鸭、鹌鹑的血液样品采自北京市种禽公司, 同种家禽的三个个体从同一品系随机选取。含有探针 33.6, 33.15 和 3HVR 的质粒 pSPT

19.6, pSPT18.15 和 p3'HVR 从英国诺丁汉大学遗传系获得, M13mp19 为本室保存。

各种内切酶及多引物标记盒 Primer-a-Gene® Labeling System 购自 Promega 公司。[ $\alpha$ -<sup>32</sup>P] dCTP 购自北京福瑞生物工程公司。尼龙膜 Hybond-N 为 Amersham 产品。

### 1.2 染色体组(核) DNA 的提取

将贮存于-70℃的肝素抗凝全血解冻, 每样品取约 30  $\mu$ l 血液溶解于 0.5ml 的 SET 溶液 (15m mol/L NaCl, 50m mol/L Tris · HCl, pH8.0, 1m mol/L EDTA), 加入 8  $\mu$ l 25% SDS 和 15  $\mu$ l 蛋白酶 K (10mg/ml), 充分混匀后置 55℃水浴中过夜。用等体积 Tris 饱和酚抽提两次, 用酚/氯仿/异戊醇 (24:23:1, V/V/V) 及氯仿/异戊醇 (23:1, V/V) 各抽提一次, 吸取上层水相加 2 倍体积预冷至-20℃的无水乙醇沉淀 DNA。离心后得到的 DNA 沉淀经 70% 乙醇冲洗、干燥后, 加入 150—200  $\mu$ l TE (10m mol/L Tris · HCl, 1m mol/L EDTA, pH8.0), 于 55℃下溶解 (约需 24h)。按此法一般每样品可以得到 100—150  $\mu$ g DNA。

### 1.3 电泳及转移

每样品取约 8 $\mu\text{g}$  DNA, 加 10U HindIII 按厂家推荐的条件于 37°C 水浴中过夜。酶切片段用 22cm 长的 0.8% 琼脂糖凝胶、在 1×TAE 缓冲液 (40mmol/L Tris, 1m mol/L EDTA, pH8.0, 5m mol/L 醋酸钠) 和 1.5V/cm 电压条件下电泳分离 48h。然后将胶依次在 0.2 mol/L HCl 中处理 20 min, 在变性液 (1.5 mol/L NaCl, 0.5mol/L NaOH) 中处理 30 min, 在碱性转移液 (1.5 mol/L NaCl, 0.25 mol/L NaOH) 中处理 15min, 按 Southern 印迹法在碱性转移液中将 DNA 转移到尼龙膜上。(用硝酸纤维膜时不可采用此法。) 将膜在 80°C 烘烤 2h 待用。

#### 1.4 探针的制备

含有各种人源小卫星探针的质粒及 M 13mp 19 按 Sambrook 等介绍的方法扩增和提纯<sup>[12]</sup>。所有质粒 DNA 经 Hind III 和 EcoRI 双酶切和电泳, 回收相应的探针片段。用 Clal 酶切双链 M13mp19 DNA 待用。

用多引物标记盒和  $\alpha$ -<sup>32</sup>PdCTP, 按生产厂家的说明标记探针。每个标准反应用 50ng DNA。用离心柱层析法除去未掺入的脱氧核苷酸。我们的标记产物的放射比活性一般为 5 ×

$10^8$ — $1 \times 10^9$  cpm/ $\mu\text{g}$  DNA。制备的探针置于沸水中煮 5min 变性, 然后放在冰水中待用。

#### 1.5 杂交和洗脱

对于各种探针, 杂交和洗脱都在 65°C 下进行。

**1.5.1 M 13 和 3HVR:** 将膜浸入预杂交液 [1% 脱脂牛奶粉、0.02% 叠氮钠、5×SSC (1×SSC 为: 150m mol/L NaCl, 15m mol/L 柠檬酸钠, pH7.0), 1% SDS] 中, 预杂交 6—8h。然后弃去预杂交液, 加入预热至 65°C 的杂交液 (5×SSC, 1% SDS) 和变性的探针 (2.5—3.0 ×  $10^5$  cpm/ml), 杂交 13—15h。弃去杂交液, 用 5×SSC, 0.1% SDS 洗脱两次, 各 30 min; 再用 2×SSC, 0.1% SDS 洗脱 45min。将膜凉干, 用保鲜膜包好。

**1.5.2 33.6 和 33.15:** 基本同上。不同之处为预杂交液含 1% 脱脂牛奶粉, 0.02% 叠氮钠, 1×SSC, 1% SDS, 杂交液为 1×SSC, 1% SDS; 用探针 33.6 时, 以 1×SSC, 0.1% SDS 洗脱三次, 各 30min; 用 33.15 时, 先用 1×SSC, 0.1% SDS 洗脱两次各 30 min, 再用 0.6×SSC, 0.1% SDS 洗脱 45min。

将膜和 X 光片放入有两张增感屏的暗盒

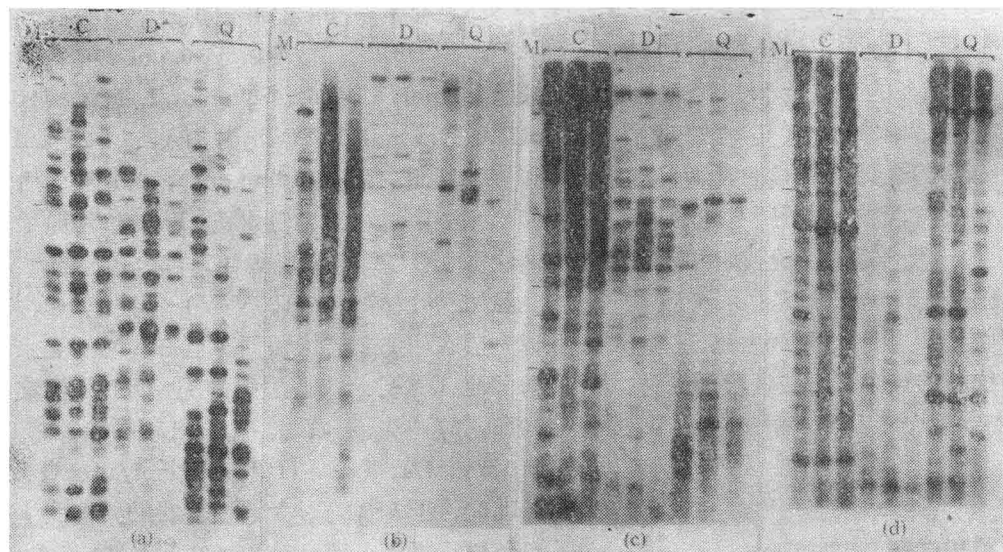


图 1 四个探针产生的家禽 DNA 指纹图

四幅照片所用探针分别为: (a) 33.6; (b) 33.15; (c) M13; (d) 3HVR

每种家禽选三个个体。C: 鸡; D: 鸭; Q: 鹊。M 注明的是分子量标志, 为  $\lambda$ DNA HindIII 酶切片段; 从上至下分别为 23.1kb, 9.4kb, 6.6kb, 4.4kb

中,于-70℃放射自显影 10h—3d,经显影和定影后得到 DNA 指纹图谱。

## 2 结果和讨论

### 2.1 不同探针的杂交和洗脱条件

如图 1 所示,四个探针在低强度的杂交和洗脱条件下,能与三种家禽的核 DNA 的众多 HinfI 酶切片段杂交,产生高度变异的 DNA 指纹图。由于四个探针的核心序列 (core sequence) 不同(表 1),被测家禽小卫星与各个探针在序列上的同源性程度不同,因此不同的探针要求不同的杂交和洗脱强度。为了找到合适的杂交和洗脱强度,较简单的办法是逐渐降低预杂交和杂交溶液的离子强度。我们发现,用 3 HVR 和 M13 产生家禽的 DNA 指纹图需较低强度的杂交和洗脱条件,即杂交时用 5×SSC,洗脱用 2×SSC,说明这两个探针与家禽小卫星的同源性较低。而探针 33.6 和 33.15 在较高的杂交和洗脱强度(即较低的离子强度)下能够产生带数相当的图谱,说明它们与家禽小卫星的同源性相对较高。

表 1 四个探针的核心序列

探针	核心序列
33.6	(5'-AGGGCTGGAGG-3'),
33.15	5'-AGAGGTGGGCAGGTGG-3'
3HVR	5'-GNGGGG(N)ACAG-3'
M13	5'-GAGGGTGGNGGNTCT-3'

### 2.2 不同家禽的 DNA 指纹图的特点和变异程度

我们从图 1 可看到,同一探针在不同家禽上产生的 DNA 指纹图在带数、带的深浅和带的分布上有不同的特点,因而 DNA 指纹图有一定的物种特异性。另一方面,用不同探针获得的同一个体的 DNA 指纹图在很大程度上是不一样的,仅有很少的带相同,说明不同探针与家禽基因组中不同家族的小卫星有同源性,用几个探针所获得的信息是可以累加的。

**2.2.1 鸡:** 不同探针产生的 DNA 指纹图在带数 ( $n$ ) 上差异不大(表 2),带的分布及带

的深浅都比较均匀。两个个体具有同一条带的概率,即相似系数 ( $F$ ),因探针引起的变化不大(表 2)。用探针 33.6,33.15,3HVR 和 M13 时,两个个体具有相同 DNA 指纹图的概率 ( $F^*$ ) 分别为  $2.3 \times 10^{-8}$ , $4.0 \times 10^{-9}$ , $1.5 \times 10^{-8}$ , $8.0 \times 10^{-9}$ 。由此可见,无论用何种探针,得到的 DNA 指纹图都具有个体特异性。这里需要说明的是,实验所用的三只鸡来源同一个经过选择的品系,系内个体之间的遗传变异性显著地低于市场上的商品鸡(另文在准备之中)。

表 2 四个探针产生的家禽 DNA 指纹图的比较

探针		33.6	33.15	3HVR	M13
鸡	带 数	30.3	31.3	31.0	31.0
	相似系数	0.56	0.54	0.56	0.55
	相同图谱概率	$2.3 \times 10^{-8}$	$4.0 \times 10^{-9}$	$1.5 \times 10^{-8}$	$8.0 \times 10^{-9}$
鸭	带 数	32.0	26.0	29.7	32.7
	相似系数	0.43	0.42	0.42	0.44
	相同图谱概率	$1.9 \times 10^{-12}$	$1.6 \times 10^{-10}$	$6.5 \times 10^{-12}$	$2.2 \times 10^{-12}$
鹤 鹑	带 数	31.3	26.7	29.7	27.0
	相似系数	0.31	0.27	0.38	0.36
	相同图谱概率	$1.2 \times 10^{-16}$	$6.6 \times 10^{-16}$	$3.3 \times 10^{-13}$	$1.1 \times 10^{-12}$

带数和相似系数为平均数。相似系数 ( $F$ ) =  $\frac{2N_{AB}}{N_A + N_B}$ , 其中  $N_{AB}$  为个体 A 和 B 所共有的带数,  $N_A$  和  $N_B$  分别为个体 A 和 B 的总带数。相同图谱概率 =  $\bar{F}^*$ , 式中  $\bar{F}$  为平均带数,  $\bar{F}$  为平均相似系数。

**2.2.2 鸭:** 用 33.6 和 M13 获得图的带数较多,带也较深。而探针 33.15 产生的 DNA 指纹图在 <4.5 kb 的区域只有很少的浅带, 探针 3HVR 产生的 DNA 指纹图的绝大部分带都极浅。用不同探针产生的鸭的 DNA 指纹图的平均相似系数为 0.42—0.44, 差异不大。

**2.2.3 鹤鹑:** 用 33.6 和 3HVR 获得图的带数较多,带分布较均匀,带的深浅差异不大。用 33.15 和 M13 产生的 DNA 指纹图,总的带数较少,浅带占多数。各种探针产生的 DNA 指纹图的变异性很高,但用 33.15 得到的图谱的变异性明显地高于其它三个探针产生的图谱。

综上所述,四种探针都适合做鸡的 DNA

指纹分析。而分析鸭时,用 33.6、33.15 和 M13 较好。分析鹌鹑时,用 33.6 和 3HVR 最好。

### 2.3 DNA 指纹图的重复性

我们在实验中发现:同一样品从酶切开始分成几份平行处理,同胶或不同胶电泳,同次或不同次杂交,得到的 DNA 指纹图谱几乎是一致的(如图 2)。主要差异表现在同一条带在不同胶中的迁移率不同(但相对位置不变),以及个别极浅的带的增减。影响前者的因素是电泳条件(如缓冲液的浓度、温度、电压、时间),影响后者的最主要因素是杂交条件。我们建议:

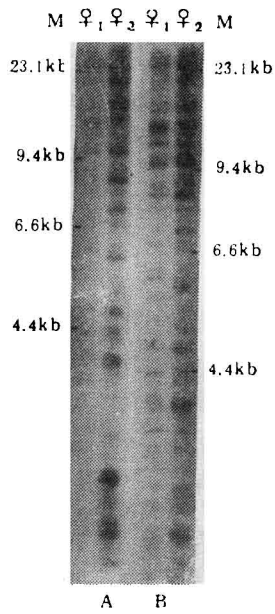


图 2 DNA 指纹图的重复性

将两只鸡(♀1 和 ♀2)的 DNA 各取两份,每份约 8 μg,用 *HinfI* 酶切后,在不同胶(A, B)上电泳,胶浓度和电泳的电压及时间相同。DNA 片段转移到膜上后,将膜放在同一杂交盒中与探针 33.6 杂交。M 注明的是分子量标志,为  $\lambda$ DNA *HindIII* 酶切片段。

当用 DNA 指纹技术进行群体分析时,所有样品应同次杂交;在计算 DNA 指纹图的带数时,图中太浅的带不应计数。由于不同批次杂交和洗脱时的温度和离子强度很难控制到完全一致,采取上述措施可以降低实验误差。

### 参 考 文 献

- Jeffreys A J, Wilson V, Thein S L. Hypervariable 'minisatellite' regions in human DNA. *Nature*, 1985; 314: 67
- Jeffreys A J, Wilson V, Thein S L. Individual specific 'fingerprints' of human DNA. *Nature*, 1985; 316: 76
- Jeffreys A J, Brookfield J F Y, Semeonoff R. Positive identification of an immigration test-case using DNA fingerprints. *Nature*, 1985; 317: 818
- Thein S L, Jeffreys A J, Gooi H C et al. Detection of somatic changes in human cancer DNA by DNA fingerprint analysis. *British J Cancer*, 1987; 55: 353
- Kuhnlein U, Dawe Y, Zadwony D et al. DNA fingerprinting, a tool for determining genetic distances between strains of poultry. *Theor Appl Genet*, 1989; 77: 669
- Gilbert D A, Lehman N, O'Brien S J et al. Genetic fingerprinting reflects population differentiation in the California Channel Island fox. *Nature*, 1990; 344: 764
- Reeve H K, Westneat D F, Noon W A et al. DNA "fingerprinting" reveals high levels of inbreeding in colonies of the eusocial naked mole rat. *Proc Natl Acad Sci USA*, 1990; 87: 2496
- 李伯龄, 倪锦堂, 叶健等。 $\alpha$ -珠蛋白-3'HVR 探针 DNA 指纹图法应用的研究。遗传学报, 1991; 18(3): 200
- Vassart G, Georges M, Monsieur R et al. A sequence of M13 phage detects hypervariable minisatellites in human and animal DNA. *Science*, 1987; 235: 683
- Higgs D R, Goodbourn S E Y, Wainscoat J S et al. Highly variable regions flank the human alpha-globin genes. *Nucleic Acids Res*, 1981; 9: 4213
- Fowler S J, Gill P, Werrett D J et al. Individual specific DNA fingerprints from a hypervariable region probe: alphaglobin 3'HVR. *Human Genetics*, 1988; 79: 142
- Sambrook J, Fritsch E F, Maniatis T. *Molecular cloning: A laboratory manual*. 2nd ed., New York: Cold Spring Harbor Laboratory Press, 1989: 1.21

(上接第 145 页)

### 参 考 文 献

- Nagata S, Taira H, Hall A et al. Synthesis in *E. coli* of a polypeptide with human leukocyte interferon activity. *Nature*, 1980; 284: 316
- McCandless R, Sloma A, Pestka S. Use of DNA bound to filters for selection of interferon-specific nucleic acid sequence. *Methods Enzymol*, 1981; 79: 618
- Lubbert H, Hoffman B J, Snutch T P et al. cDNA cloning of a serotonin 5-HT<sub>1C</sub> receptor by electrophysiological assays of mRNA injected *Xenopus* oocytes. *Proc Natl Acad Sci USA*, 1987; 84: 4332
- Thomas D, Surdin-Kerjan Y. An improved strategy for generating a family of unidirectional deletions on large DNA fragments. *GATA*, 1990; 7(4): 87
- 徐洵, 刘震乾主编。DNA 重组技术。北京: 科学出版社, 1990: 63—64